

دراسة التحولات الطورية للبنتونايت العراقي مع الألومينا و المغيسيا بوصفهما اضافات في درجات حرارة عالية

شذى هاشم مهدي*

فاضل عبد رسن عماره**

طارق عبد الرضا الظاهري*

استلام البحث 22، شباط، 2010

قبول النشر 20، شباط، 2011

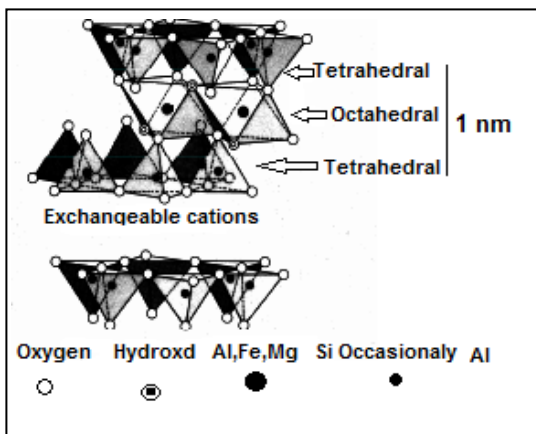
الخلاصة:

استعمل البنتونايت العراقي أساساً لنماذج سيراميكية مع إضافات من الألومينا والمغيسيا. تم تحليل حيود الشعاع السيني للمواد الأولية في درجة حرارة الغرفة من متابعة التغيرات الطورية المعدنية للبنتونايت مع درجات الحرارة إلى 1000 و 1100 و 1200 و 1250 مئوي ، وجد بأنها تشير إلى تحوله إلى المولايit بنسبة 39.18% وكربستوبولات 60.82%. حضرت النماذج السيراميكية بنسب وزنية مختلفة و ظهر تأثير ذلك عند معاملتها حرارياً إلى 1000 و 1100 و 1200 و 1300 درجة مئوية. إذ لم تصمد بعض النماذج ذوات نسب الإضافات الأقل من 15% لكل من الألومينا والمغيسيا أما النماذج التي استقرت فكانت لنسب الأضافات الأكثر من 15%. و انعكس ذلك على تحليل حيود الشعاع السيني لها إذ ثبت تبلور أطوار الكورديرايت ، الأنورثايت ، المولايit ، الكرستوبولait والولستونايت. ظهر الأنورثايت بوصفه أعلى نسبة 87.53% والكورديرات 77.35% والولستونايت 62.55%. أن ظهور المعادن الحرارية في النماذج يؤكد ويدعم امكانية استعمال البنتونايت مع تلك الإضافات في الصناعات السيراميكية للحرارة العالية .

الكلمات المفتاحية: البنتونايت العراقي، التغيرات الطورية، المعادن الحرارية

المقدمة:

البنتونايت، اسم لنوع خاص من الطين يتكون بشكل أساسي من معادن السليكات والمعدن السائد هو المونتموريولونايت. ويكون البنتونايت نتيجة العمليات التحويلية للزجاج البركاني التي أساسها سيليكات الألمنيوم المائية مع امكانية احتلال المغيسيوم وال الحديد محل الألمنيوم. فضلاً عن وجود العناصر الفلوية والعناصر الفلوية الأرضية ضمن تركيبه الداخلي [1-3]. أما تركيبه فيشبه الصفائح وفيه طبقتان مزدوجتان من هيئة رباعي الاوجه للسيليكا تصنع بينها طبقة من $(Al / Mg)(OH)$ التمانية الاوجه octahedral وذلك تكون صفيحة واحدة. وان أيون الألمنيوم Al^{+3} في طبقة ثمانية الاوجه يمكن استبداله بأيون ثالثي مثل أوكسيد المغيسيوم Mg^{+2} وهذا الاستبدال يسبب عجزاً في الشحنة الموجبة ونتيجة لذلك تكون pH غير معتمد على شحنة السطح السالبة . وهذا يعني ان صفائح المونتموريولونايت تحصل بعضها البعض بطبقة من الايونات الموجبة [4] (ايونات خاصة للاستبدال بين الطبقات) وكما موضح بالشكل (1).



شكل(1): يوضح صفيحة مونتموريولونايت التي تتكون من طبقات سيليكات رباعية وثمانية $Al/MgO(OH)$ ، وتتصل الطبقات مع بعضها بطبقة من الايونات الموجبة القابلة للاستبدال [4]

ان اغلبية الايونات الموجبة توازن الشحنة السالبة على السطح اذ تترتب الصفائح الكتروستاتيكيا". اما صيغته الكيميائية فهي $Ca,Na,K)(Al,Mg,Fe^{+3})(Si,Al)_4O_{10}(OH_2).nH_2O$ او اذ ان تركيبه قادر على امتصاص الماء بين طبقاته ودون الفعل الشعري ولذلك يحدث انفصال ولهذا يدعى بشبيكة المعادن الأتساعي. وتعتمد درجة الاتساع على موقع الايون الموجب الأحادي الممياة، اذ يولد قوة تناقض بين الطبقات اقوى وأكثر اتساعاً من تلك

*قسم الفيزياء / كلية التربية ابن الهيثم / جامعة بغداد/العراق

**قسم الفيزياء/علوم / الجامعة المستنصرية

باستعمال جهاز Retsch وبنخل من الشركة نفسها Mesh No: 500 وبدأنا بطين البنتونايت. اذ استعمل طين البنتونايت العراقي وبعد التحليل الكيميائي له اتضح أن النسب المئوية لمكوناته هي:

$$\begin{aligned} \text{SiO}_2 &= \% 54.6, \text{Fe}_2\text{O}_3 = \% 4.82, \text{Al}_2\text{O}_3 = \\ &\% 14.93, \text{TiO}_2 = \% 0.69, \\ \text{CaO} &= 6.06\%, \text{MgO} = \% 3.5, \text{SO}_3 = \\ \% 1.02, \text{Na}_2\text{O} &= \% 1.22, \\ \text{K}_2\text{O} &= \% 0.51, \text{L.O.I} = \% 10.72 \text{ and} \\ &1.93\% \text{ شوائب}\end{aligned}$$

اما تركيبه المعدني فقد تم الاستدلال عليه بأسعمال تقنية حيود الشعاع السيني جهاز Siemens X-Ray Diffraction Unit Model يعمل A° $\lambda = 1.54060$, $\text{Cu}-\text{Ka}$ line, $d = 15.857\text{\AA}$ وبجهد 30 mA وتيار 40 kV . مجهز ببرنامج يزور دنا بيانات نمط حيود الشعاع السيني من الانموذج بخطوات 0.05° وبسرعة مسح 5° لكل دقيقة. اتضح من الشكل (2) أن المونتموريونايت هو السادس عند $d = 10.2885\text{\AA}$ و الكوارتز $d = 3.4455\text{\AA}$ ثم الجبسات والكلسيات $d = 3.2527\text{\AA}$ والفلسيبار $d = 2.085$ وذلك عند مقارنتها بمقاييس ASTM وهذه اشاره الى بنتونايت Ca^- .

اما الالومينا والمغيسيا فقد تم تجهيز المادتين من شركة Fluka وبنقاوة 99.99% وبمقاييس حبيبية $10-30\text{ }\mu\text{m}$ واستعمل حيود الشعاع السيني والأشعة تحت الحمراء للتطابق مع توطيفهم. خطط تكون مجاميع الخلطات السيراميكية بالنسبة المئوية لكل من مكوناتها موضحة بالجدول (1).

الإيونات الموجبة الكبيرة الشحنة التي درجة تعيؤها أقل بذلك يقسم البنتونايت إلى مجموعتين، الأولى لها القابلية على الإمتراز بشكل كبير ليتسع حجمه نحو 15 مرة بقدر حجمه الأصلي عندما يكون جافاً، وتميز باحتفاظها بالماء لدرجة حرارة $(205)^\circ\text{C}$ ولها خاصية استقرار عالية. أما المجموعة الثانية فلها القابلية على إمتراز الماء بشكل محدود وفي هاتين المجموعتين تدرج المجاميع الأخرى لأطيان البنتونايت [5].

يستعمل في ربط حبيبات مواد سيراميكية متقدمة مثل كاريبيد السيليكون أعتماداً على خاصية تبدل الأساس وتأين جسيماته [6]. و بتحضير مركب الكوردراتيت في تفاعل محلول الصلب باستعمال أطيان محلية عراقية [7]. ويمكن إضافة حشوات من مسحوق البنتونايت المطحى إلى البولميرات مثل البولي بروبيلين والبوولي مثيل ميثا إكريليت لتكون مركبات بأحجام حبيبية مختلفة و لوحظ تحسن الخواص الميكانيكية مع زيادة نسبة البنتونايت وكذلك الاستقرارية الحرارية [8]. وبحسب علمنا لم يتطرق الباحثون إلى معالجة طين البنتونايت بأضافة مواد سيراميكية حرارية مثل الالومينا والمغيسيا . لذلك تهدف هذه الدراسة إلى أمكانية استعمال البنتونايت بوصفه أساساً مع إضافة من الالومينا والمغيسيا بنسب مختلفة للحصول على أطوار لمعدن تؤدي إلى مقاومة حرارية أعلى من درجة انصهار البنتونايت نفسه . ودراسة التحولات الطورية المصاحبة للتغير درجة الحرارة وصولاً إلى 1300 درجة مئوية.

المواد وطرائق العمل:

تم طحن المواد الأولية كلاً على انفراد باستعمال مطحنة ذات كرات بورسلينية وتم غربلتها

جدول (1): بين رموز الخلطات مع نسب المكونات

| A | | | B | | |
|---------------------------|----------------|---------------------------|----------------|---------------------------|----------------|
| رمز الخلطة | Bentonite % | Al_2O_3 % | رمز الخلطة | Bentonite % | MgO % |
| A1 | 95 | 5 | B1 | 95 | 5 |
| A2 | 90 | 10 | B2 | 90 | 10 |
| A3 | 85 | 15 | B3 | 85 | 15 |
| A4 | 80 | 20 | B4 | 80 | 20 |
| A5 | 75 | 25 | B5 | 75 | 25 |
| C | | | D | | |
| Al_2O_3 % | MgO % | Al_2O_3 % | MgO % | Al_2O_3 % | MgO % |
| C1 | 90 | 5 | D1 | 80 | 10 |
| C2 | 85 | 10 | D2 | 75 | 15 |
| C3 | 80 | 15 | D3 | 70 | 20 |
| C4 | 75 | 20 | D4 | 65 | 25 |
| C5 | 70 | 25 | | | 10 |

لتر من الماء المقطر وباستخدام Magnetic stirrer ترك لمدة نصف ساعه بدرجة حرارة (80°C) و بعدها تم الحصول على محلول غروي HCl من أي راسب. ثم يضاف حامض

بعد تهيئه النسب الوزنية للمواد الأولية تم خلط المواد بطريقة الخلط الرطب (الحراري) و ذلك يتطلب ضبط قيمة pH للماء المقطر ثم وضع المادة الرابطة (PVA) (بنسبة وزنية مقدارها 1 % لكل

الحرارية للنماذج (الأقراص) المتمثلة بطين البتونايت (دون اضافات) ومجاميع النماذج A,B,C,D لدرجات حرارة 1000,1100,1200, 1250,1300 °C وتليدها عند كل درجة لمدة 2hr .

بعد إكمال عملية التلييد وبدرجة حرارة 1300°C (1250) فشلت بعض العينات من الصمود أمام درجة الحرارة العالية (1300°C) للخلطات التي تراوح مقدار الإضافات فيها بين (5-15%) اذ عانت هذه العينات من الانتفاخ والتشوهات وبعضاها انصهرت كما في (الشكل 2a). أما العينات التي صمدت في أثناء عملية التلييد بدرجة حرارة C° (1300) والتي كان مقدار الإضافات فيها تتراوح % (20-25) فقد تم الحصول على جسم سيراميكي يتحمل درجة حرارة 1200°C (>). وتكون ذلك الطيف اللوني نتيجة لمكونات البتونايت من اكاسيد كما تمت الإشارة إليها في التحليل الكيميائي (الجزء العملي) اذ يعمل اوكسيد الحديد بوصفه مصهراً واسهماً في اعطاء اللون الاحمر او البنفسجي المحمر او البني اعتماداً على ظرف الحرق والتأكسد و يمكن ملاحظة ذلك من ما تعرسه الصور الفوتوغرافية والمجهريّة لسطح نماذج طين البتونايت المصاحبة لتغيير درجة الحرارة في (الشكل b). اما إلى مجاميع النماذج المحضرة فكان اللون البني إلى الأصفر هو الشائع يعود ذلك لتكون أطوار معدنية ناتجة عن تفاعل منصهرات كل من اوكسيد الحديد و اوكسيد الكالسيوم (يسهم بإعطاء اللون الأبيض) والسيليكا عند درجة حرارة حرق C° 1100 - 1250 . أما عند C° 1300 فأن اللون البني هو السائد لسطح النماذج A₄, A₅, B₄, B₅, D₂, D₃, C₅ يعرض (الشكل 2c) و (2d) صوراً فوتوغرافية ومجهريّة للألوان التي ترافق التغير بدرجات الحرارة لسطح كل من B₅, D₃ على التوالي. وللذان تم اختيارهما اعتماداً على دراسة بعض الخصائص الفيزيائية لهم. إن التغيرات في الألوان بالنسبة للنماذج المحضرة لم تكن سوى تغيرات معدنية على المواد الأولية المكونة لكل نموذج اذ هنالك تفاعلات هدمية وبناء وتحوير تؤدي إلى تشكيل أطوار جديدة فعند C°(700) يتبخر الماء المسامي والسطحى وان فقدان ماء التبلور يسبب انهياراً للبناء البلوري ويتبع ذلك تحلل المواد الجيرية. وعند زيادة درجة الحرارة اكثر من C°(700) ضمن برنامج التلييد تبدأ نويات التفاعلات البناء من تلييد الجسيمات وتكون طور الزجاج، ولهذا تم الاختبار على النماذج بدرجات حرارة C°[700-1000] و [700-1100] و [700-1200] و ذلك لتشكل بعض الأطوار المعدنية الجديدة.

المركز بمقدار معين للحصول على محلول حامضي ذي (pH=3) بعد ذلك اضيفت الألومينا وترك تمتزج لمدة نصف ساعة، و من ثم أضيف البتونايت والمكونات الأخرى واستمرت عملية المزج من (8-9) ساعات للحصول على أفضل تجانس ممكن للخلطات. بعد الحصول على مزيج كثيف، جفف بدرجة حرارة (70°C) للتخلص من محلول المائي ثم أجريت عملية التقتيت يدوياً للحصول على المزيج الأساس المطلوب . تم تشكيل العينات كما جاء ذكره في الجدول (1) بطريقة الكبس شبه الجاف وذلك لتقليل المسامية الناشئة من خروج الماء من الجسم السيراميكي في أثناء عملية الحرق. اذ تمأخذ مزيج بوزن (6g) من كل خلطة و كبسها بمكبس هيدروليكي نوع (RINLNG) انكلiziي المنشأ باستعمال قالب من مادة (steel) بقطر (25mm) لقوية مقدارها (5MPa) و زمن كبس (5min). شكلت ست عينات لكل نموذج من كل خلطة لإجراء الفحوصات عليها. معاملة المكبوسات حرارياً انجذ باستعمال فرن كهربائي نوع (Carbolite) عند الضغط الجوي الأعتيادي وبمعدل زمني لصعود درجة الحرارة هو (5°C/min) و بأربع مراحل في كل مرحلة بعد أطفاء الفرن تترك النماذج لتبرد داخله إلى اليوم الثاني وكما يأتي هي : (100°C) وبقيت النماذج عندها لمدة ساعتين وفي اليوم الثاني رفعت درجة الحرارة إلى (450°C) وبقيت عند هذه الدرجة لمدة أربع ساعات وفي اليوم الثالث رفعت درجة حرارة إلى (700°C) لمدة ثلاثة ساعات اما في اليوم الرابع فتم رفع درجة حرارة الفرن إلى كل من درجات المعاملة الحرارية المطلوبة وهي C°1000, 1100, 1200, 1250 , 1300 وبقيت العينات في كل من هذه الدرجات لمدة ساعتين و بعد اطفاء الفرن تترك لليوم الذي يليه. اعتمدنا هذه الطريقة بوصفها ضماناً للتخلص من المادة الرابطة والمواد العضوية والسماح للغازات المتحررة من جراء عملية الحرق بالخروج بصورة بطيئة لنقليل التشوهات التي قد تحصل للعينات خلال عملية المعاملة الحرارية .

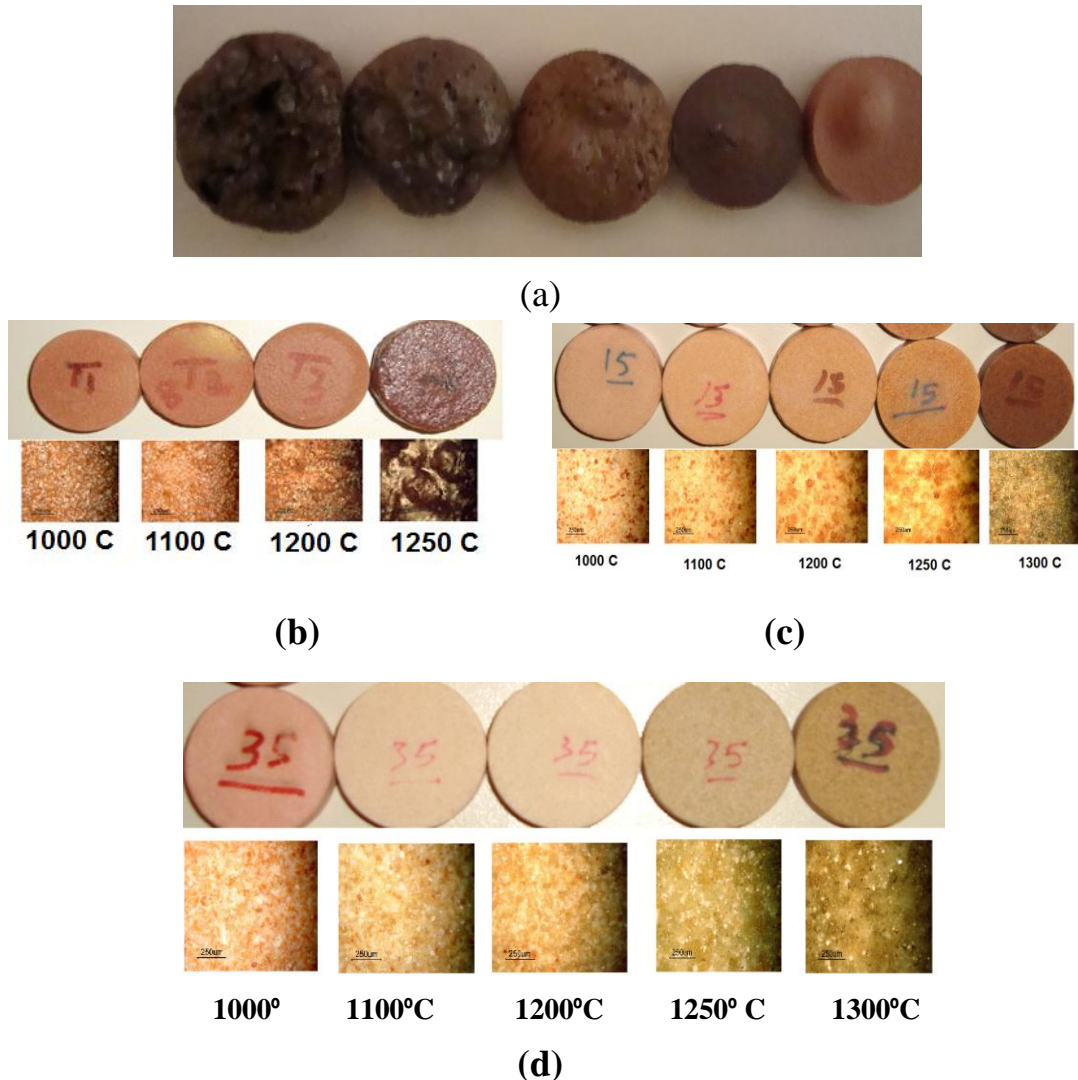
استخدم المجهر الضوئي نوع Nikon Ecclipse Me600 with digital camera DXM1200F لتصوير العينات وسطوحيها.

النتائج والمناقشة:

بعد المعاملة الحرارية تم اختيار النماذج لدراسة التركيب المعدني في المجهر الضوئي وحيود الشعاع السيني.

الدراسة البصرية

تم الحصول على طيف لوني من البني الفاتح إلى البنفسجي الغامق وذلك خلال المعاملة

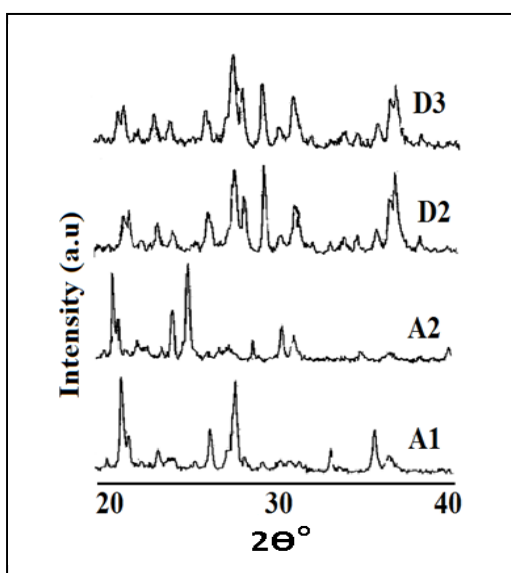


شكل(2) : صور فوتوغرافية ومجهرية (a) النماذج وسطح طين البنتونايت عند الأتمودج D3 (b) الأتمودج 1250 و 1200 و 1100 و 1000 °C (c) الأتمودج B5 (d) الأتمودج 1000 °C

الأتمودج المعامل نفسه عند 1100°C (1100) فكان نماء طور الكرستوبلايت إلى 68.89% على حساب النقصان بنسب كل من المولait (22.13%) والكوارتز (2.54%). وظهر طور السبايدن بنسبة 6.44% ، وعند معاملته في 1200°C كان طور المولait بنسبة 66.74% و الكرستوبلايت (27.37%) وكوارتز (5.59%). تحول طين البنتونايت بشكل نهائي إلى المولait (39.18%) وكرستوبلايت (60.28%) عند 1250°C . وهذا يتفق مع نتائج تغير أطوار المونتموريولونايت عند درجات الحرارة 950°C - 1200°C حيث يظهر الطور البلوري إلى بيتا-كوارتز ثم ينقلب إلى بيتا-كرستوبلايت. وتكون له أعظم شدة في طيف حيود الشعاع السيني عند 1200°C ثم يبدأ بالانخفاض تدريجياً عند زيادة درجة الحرارة. وفي نماذج أخرى يتبلور طور المولait

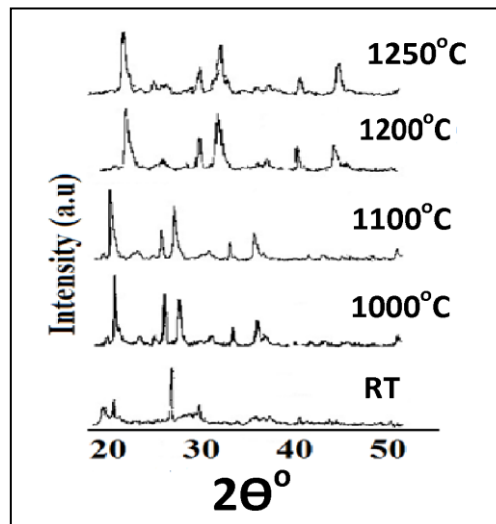
حيود الشعاع السيني طين البنتونايت

يبين الشكل (3) التحليل المعدني لمكونات طين البنتونايت (المتمثل بحيود الشعاع السيني) من درجة حرارة الغرفة إلى المعاملة الحرارية $(1000.1100.1200.1250)^{\circ}\text{C}$. يكون المونتموريولونايت هو السائد في درجة حرارة الغرفة بليه البلورسكايت والكوارتز ثم الكلسيت والجبسait ونسبة قليلة من الفلدسبار. تم حساب نسب مكونات كل أتمودج باستخدام برنامج معد لحساب المساحة تحت القمم التي تشير إلى الطور الناتج وبعدها ندرج نسبة مكونات كل طور . أما في درجات الحرارة العالية ظهرت الأطوار الناتجة لأنموذج طين البنتونايت المعامل بدرجة حرارة 1000°C (1000) وهي الكرستوبلايت (57.78%) والمولait (33.48%) وكوارتز (8.74%). أما



شكل(4) مخططات حيود الشعاع السيني للنماذج $C^{\circ}1250$ عند D_3, D_2, A_2, A_1

(يتكون نتيجة لتحطم الأوكسيد في المونتموريونايت وتفاعل الألومينا مع الكوارتز) مع الكرستوبوليت وهما الناتج النهائي بعد انهيار الانموذج [9]



شكل(3) حيود الشعاع السيني لطين البنتونايت في درجة حرارة الغرفة و $(1000, 1100, 1200, 1250)^{\circ}C$

النماذج المعاملة درجة حرارة $1300^{\circ}C$

النماذج المعاملة درجة حرارة $1300^{\circ}C$ وز من انصاص (2 hr) يوضحها الشكل(5) الى:

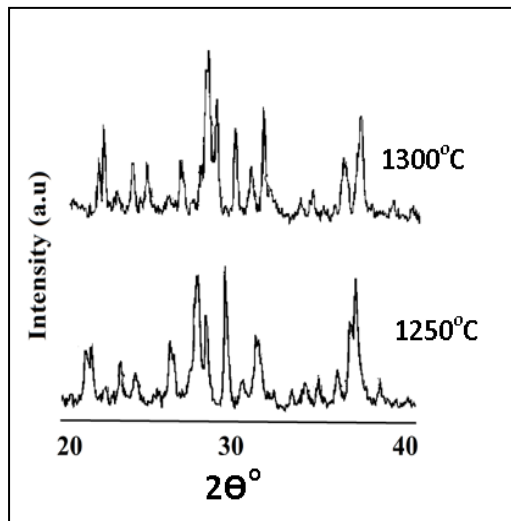
الانموذجان B_4 و B_5 يختلفان بمقدار 5% مغيسياً اذ نسبتها في B_4 25% اما في B_5 20%. ومن طيف حيود الشعاع السيني ظهر طوران للانموذج B_4 هما الولستونايت بنسبة 62.55% والكوردرایت بنسبة 37.45% اما للانموذج B_5 فكانت اربعة اطوار هي الأنورثایت 44.75% و الكوردریرات 31.65% والمولایت 12.36% و الولستونايت 11.24%.

اما للانموذجين C_4 و C_5 فاتضح ان الكوردریرات هو السائد 77.35% في C_4 وبالنسبة الى C_5 53.37% ويختلف الانموذجان بنسبة اضافة الألومينا اذ تزيد نسبتها بمقدار 5% عما عليه في C_4 مع ثبوت اضافة المغيسيا بمقدار 5%. وان اطوار C_5 تميزت بظهور طور الولستونايت بمقدار 25.47% عما عليه وان اطوار في C_4 وبهذا تكون اطواره هي الولستونايت والكوردرایت والمولایت والأنورثایت.

اما بالنسبة للانموذجين D_2 و D_3 فيختلفان بزيادة 5% نسبة الألومينا في D_3 عما عليه في D_2 اما نسبة المغيسيا ثابتة 9.1% وهذا يعني ان مقدار اضافة للبنتونايت بالنسبة للانموذج D_2 هي 22.07% وتبين من الشكل ان الأنورثایت هو السائد بنسبة 83.68% يليه المولایت 11.62% والكوردریرات 4.69%. اما بالنسبة الى D_3 فنسبة اضافة للبنتونايت هي 27.2% والأطوار المكونة

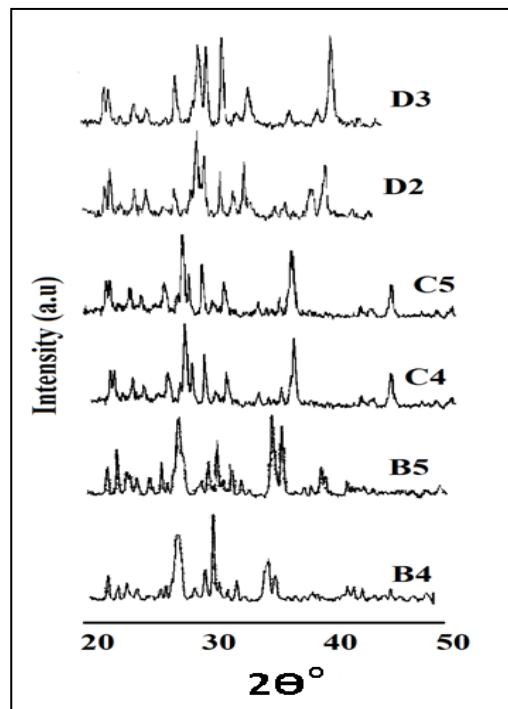
النماذج المعاملة عند $C^{\circ}1250$ يعرض الشكل(4) التحليل المعدني للأجسام السيراميكية المحضرة من طين البنتونايت مع الإضافات والمعاملة بدرجات حرارة $C^{\circ}1250$. اذ يوضح مخططات حيود الشعاع السيني للنماذج A_1, A_2, D_2, D_3 وظهور اطوار جديدة هي الكوردرایت والأنورثایت (نتائج للكالسيوم بنتونايت) فضلاً عن المولایت والكرستوبوليت والولستونايت [10-15] وكما يأتي :

للأنموذجين A_1 و A_2 كان تبلور طور الكوردرایت هو الغالب على بقية الأطوار (المولایت والأنورثایت) وكانت نسبته في الأنموذج A_1 تساوي (71.66) %. اما في الأنموذج A_2 فتساوي (73.22) %. وكان ذلك في الأنموذج A_2 بسبب زيادة الألومينا بمقدار 5% عما في A_1 و نقصان في الأنورثایت بمقدار 18% من نسبته في A_1 . اما الأنموذجان D_2, D_3 تميزا بظهور طور الأنورثایت كطور أساس بالإضافة إلى الأطوار الآخر و بلغت نسبته (69.14) % للأنموذج D_2 و (87.53) % للأنموذج D_3 . وذلك ناتج عن تفاعل مكوني البنتونايت المولایت والكرستوبوليت مع الزيادة في الإضافات عند الحرارة العالية. ان الإضافات أدت إلى تحول اطوار الانموذج D_2 الى طورين فقط هما الأنورثایت والكوردریرات.



شكل(6) مخطط حيود الشعاع السيني للإتموج D2 عند $C^{\circ}1250$ و $C^{\circ}1300$

بكرت بنسبة 75% الكورديرات يليه الأنورثايت والكريستوبوليت ثم المولait.



شكل(5): مخططات حيود الشعاع السيني للنماذج B4,B5,C4,C5,D2,D3 عند $C^{\circ}1300$

المصادر:

1. Grim. R.E and Guven. N ; 1978 "Bentonites ,Geology, Mineralogy ,Properties and Uses" Elsevier scientific publishing company. New York.
2. القره غولي. ناهدة عبد الكريم، 1979 "جيوكيميائية الصخور والمعادن الصناعية". طباعة شركة التاييس للطبع والنشر المساهمة.الإيادع المكتبة الوطنية-بغداد . 546
3. Janssen. M; 2002 "Diffusion of Radionuclide in Bentonite clay – Laboratory and in situ studies" PhD thesis department of nuclear chemistry Royal institute of technology.
4. عيسى ، مرتضى جبار ، جيو كيميائية خامات عراقية مختارة كعوامل امتزاز في الأعمدة الكرومتوغرافية لأغراض تصفية المياه" أطروحة دكتوراه ، جامعة بغداد-كلية التربية ابن الهيثم 2008العراق.
5. Worrall .W.E; 1982"Ceramic Raw Material" printed Great Britain by Bill and Bain Ltd. Glasgow .

النماذج D2 عند $C^{\circ}1250$ و $C^{\circ}1300$
 الشكل (6) يبيّن ان الأنورثايت هو السائد بنحو 69% يليه الكورديرات 19.27% ثم المولait 11% عند $C^{\circ}1250$. أما عند $C^{\circ}1300$ فأزدادت نسبة الأنورثايت الى 83% على حساب النقصان بنسبة الكورديرات 4.69% مع ارتفاع طفيف جداً بالنسبة للمولait. وإن المقارنة بين طيفي الشعاع السيني لهما يوضح ان شدة القمة عند $2\theta = 29^{\circ}$ قلت الى النصف وتقليل طيف الشعاع السيني له عند $C^{\circ}1250$ وبزيادة درجة الحرارة الى $C^{\circ}1300$ اكتمل انشطار القمم عند 30° و 36° واتضح ان الكورديرات تحول الى الأنورثايت مع بقاء قمم المولait كما هي تقريباً عند $C^{\circ}1300$ ونتيجة لما تقدم من مواصفات لموزائيك الأطوار يمكن استخدام هذه النماذج بوصفها وصفات سيراميكية لدرجة حرارة $1300^{\circ}C$ اساسه البتونيات العراقي وقد ثبت ذلك لنا من دراسة الخواص الفيزيائية والخواص الكهربائية [16] .

11. American Standard Test Method, 15-0776 International Center for Diffraction Data , FileTM & Related Products 2009-2010.
12. American Standard Test Method, 21-1152 International Center for Diffraction Data , FileTM & Related Products 2009-2010.
13. American Standard Test Method, 12-0301 International Center for Diffraction Data , FileTM & Related Products 2009-2010 .
14. American Standard Test Method, 12-0303 International Center for Diffraction Data , FileTM & Related Products 2009-2010 .
15. American Standard Test Method, 37-1496 International Center for Diffraction Data , FileTM Related Products 2009-2010 .
6. AL-Jeboori.S, 2005 "Bonded silicon carbide with ceramic raw materials" PhD thesis university of technology Iraq .
7. AL- Fouadi H.A; 2007. "Dielectric properties of local clay-Based cordierite ceramics ."PhD thesis college of science AL-Mustansiriyah university Iraq .
8. Muslim A. M; 2007."A study of the effect of Iraqi Bentonite on some prosperities of polymeric blend(pp /)."PhD thesis University of Technology Iraq.
9. Kulbicki. G;"High temperature phases in montmorillonites" .5th Nat . Clay .Conf .Urhana 1956.
10. American Standard Test Method , 39-1425 International Center for Diffraction Data , FileTM & Related Products 2009-2010 .

Phase transformation study of Iraqi Bentonite with Al₂O₃ and MgO as additions at high temperatures

Tariq Abdul-Ridha AL-Dahir*

Shatha Hashim Mahdi*

Fadhel abed Rasin**

*College of Education / Ibn –AL-Haithem / University of Baghdad/Iraq

**College of science AL- Mustansiriyah University

Abstract:

Iraqi bentonite is used as main material for preparing ceramic samples with the additions of alumina and magnesia. X-ray diffractions analyses were carried out for the raw material at room temperature. The sequence of mineral phase's transformations of the bentonite for temperatures 1000 ,1100 ,1200 and 1250 °C reflects that it finally transformed in to mullite 39.18% and cristobalite 62.82%. Samples of different weight constituent were prepared. The effect of its constitutional change reveals through its heat treatments at 1000,1100,1200,1250and 1300°C .The samples of additions less than 15% of alumina and magnesia could not stand up to 1300°C while the samples of addition more than 15% are stable .That is shown by analyzing of X-ray diffraction pattern after heat treatments of the samples. The growth of mineralogical phases like cordierite, anorthite ,mullite, cristobalite wollastonite with highest percentage ratio of anorthite 87.53%,cordirite77.35% and willostonite 62.35% .So the presence refractory materials in the obtained samples highly support the possibility of using the bentonite with additions in the ceramics industry for high temperatures.